

京都大学防災研究所 正員 村山彌郎
 京都大学大学院学生 学生員 中嶋英彦
 京都大学学生 学生員 福岡啓介

まえがき 地盤の耐震問題のうちで土の弾性係数は基本的ひとつでありながら、動的に測定された弾性係数は測定法による限り相異する。地震を対象に考えて着者らは地震の周波数(1c.p.s. ~ 10c.p.s.)に近い低周波数において、比較的大きな振幅の振動荷重を粘土に与えて弾性係数の変化を調べるとともに、振動荷重によるエネルギーの減衰も調べてみた。

実験装置と方法 実験に用いた振動圧発生装置は文献(1)に示すものを低周波数においても波形の乱れをなくすよう改良したものである。用いた試料は室内で人工的に再圧密した粘土でその物性は PL. 32.6%, LL. 68.0%, 比重 2.55, 粘土含有量 42% である。この試料を直径 3.57 cm , 高さ 8 cm に成形し三軸セル内でペーパードレーンを併用して等方圧 0.2 MPa で圧密した後、振動軸圧を負荷した。なお軸ひずみ振幅、軸圧の測定には抵抗線式計を応用した transducer を用い、記録は光浮式電磁オシログラフを用いた。

軸中一定、振動数変化の実験 周圧を 0.2 MPa に保持したまま軸圧を平均値 $(0_1 - 0_3)\text{ MPa}$ まで上げて 5 分後、周波数 1 c.p.s. の振動軸圧を負荷した。軸圧振幅 $(0_1 - 0_3)\text{ MPa}$ を一定に保ち各周波数について 6 分間振動荷重を与えて次の周波数段階に移る。 10 c.p.s. まで上げた後また $f = 1\text{ c.p.s.}$ まで下げる。各周波数段階の初期と終期においても、また周波数の上昇時と下降時ににおいても、ひずみ振幅には顕著な差はみられなかった。軸圧ヒューズとの記録例を Fig. 1 に示す。この記録から一周期にわたって同一時刻における軸ひずみと軸圧とを読み取り、应力～ひずみ関係を求めたのが Fig. 2 である。Fig. 1 の軸圧と軸ひずみの位相差は Fig. 2 においては履歴曲線となって現われている。(以下周波数 ω の代りに角速度 ω を用いる。)

弾性係数 $E(\omega)$ を Fig. 2 より $\frac{(0_1 - 0_3)/G}{\omega}$ で定義し、 $E(\omega)$ と角速度 ω との関係を Fig. 3 に示す。Fig. 3 とともに ω の増加とともに $E(\omega)$ の増加がみられるが、これは粘土を粘弹性体と考えると当然の現象である。次に Fig. 2 の履歴曲線の回り面積を プラニメーターで測定し、その面積をエネルギー減衰 W_0 とする。軸圧と軸ひずみとを正弦曲線と考えるとその位相差 δ は

$$\tan \delta = \frac{\omega_0}{\pi PA} \quad (P \text{ 軸方向力の最大振幅}, A \text{ 軸方向変位の最大振幅})$$

δ と $E(\omega)$ を用いてレオロジーで用いられる損失弾性率 $E''(\omega)$ を次式で求め ω との関係を Fig. 4 に示す。

$$E''(\omega)/E(\omega) = \tan \delta, \quad E''(\omega) = \sqrt{(E'(\omega))^2 + (E''(\omega))^2}$$

$$\delta \text{ が 小さな 値のときは } E''(\omega) \approx E(\omega) \delta$$

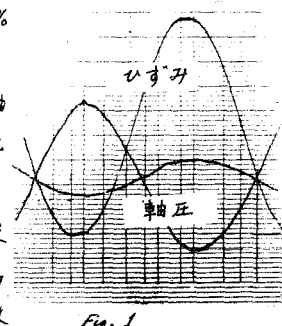


Fig. 1

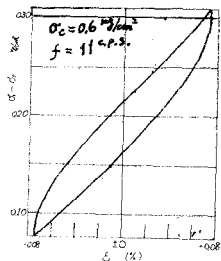


Fig. 2

静的リニア・アーティア試験の結果と土に述べた動的リニア試験結果を比較する場合、アーティア速度と E_{dyn} とは関連があり、次の近似的な関係がある。

$$E_{\text{dyn}}^{\prime \prime} = \frac{\pi}{2} E_{\text{dyn}}^{\prime \prime} \frac{d \log E}{d \log t}$$

動的リニア試験における応力条件にはば似たる繰り返し γ -アーティア試験の結果を Fig. 5 に示す。Fig. 5 は $\frac{d \log E}{d \log t}$ を用いて上式の右辺を計算すると 6.00 rad/s^2 ～ 9.8 rad/s^2 の間にあり、左辺は Fig. 4 は 4.3 rad/s^2 ～ 7.00 rad/s^2 の間にあり、オーダーの上で一致している。上式が最も大きめの近似式である。アーティアと動的試験の応力条件が異なるが異なる異なり、ということは、両者の値の差となり、あらわれているものと思われる。静的試験から動的試験における値のある程度の目安のつくのは好都合である。

振動数一定・振幅変化の実験 軸正歪率 γ (0.1-0.3) %まで上げて 5 分間、周波数を固定して振動軸歪率負荷した。小さな正歪振幅のみ、漸次段階的に、同一正歪振幅を 6 分間負荷して次の振幅段階に移る。前に行なったと同じ整理を行ひて、軸歪ずみ振幅と軸正歪振幅との関係を Fig. 6 に示す。軸正歪振幅と E_{dyn} との関係を Fig. 7 に示す。Fig. 7 は E_{dyn} は軸正歪振幅の小さなときには非常に大きいが、軸正歪振幅の増加につれて急激に減少している。Fig. 8 は γ と軸正歪振幅との関係を示す。軸正歪振幅の小さな 0.1 rad/s^2 以下においては、 γ は軸正歪振幅のほぼ 2 束に比例して増加するが、軸正歪振幅が大きくなれば、ほぼ 2.8 束に比例する。すなわち軸正歪振幅が大きくなり水は 1 タイプ中に消散されるエネルギーは指数的に増加する。

あと書き 種々考めたかった動的弹性係数はひずみの振幅を小さくした、高周波数を用いたりして固定されたものが多かったが、これらの場合に実際の地震と比べると、ひずみ振幅の実では小さな、周波数の実では高すぎるるので、地震と対象とする場合、上の二点を考慮しなければならない。

(1) 村山「土の振動三軸試験」

土質工学会第10回シンポジウム(1965)

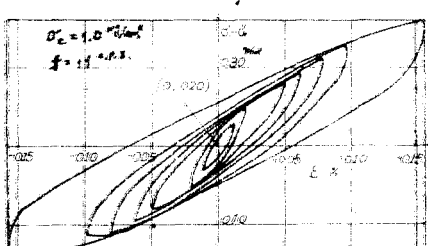


Fig. 6

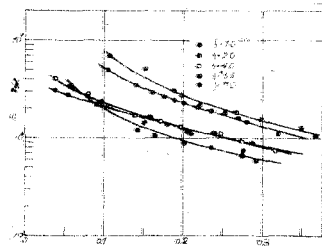


Fig. 7

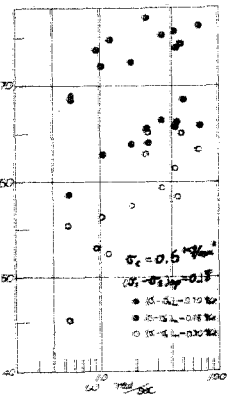


Fig. 3

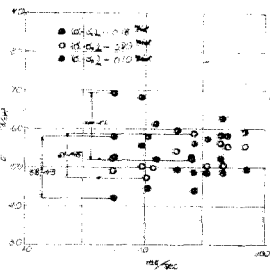


Fig. 4

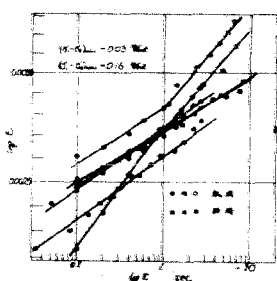


Fig. 5

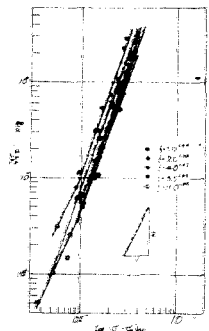


Fig. 8